



# OFICINA ESPAÑOLA DE PATENTES Y MARCAS

**ESPAÑA** 



11) Número de publicación: 2 703 052

61 Int. Cl.:

C12N 15/10 (2006.01) C12N 15/87 (2006.01) C07K 14/075 (2006.01)

A61K 47/61 (2007.01)

(12)

### TRADUCCIÓN DE PATENTE EUROPEA

T3

(86) Fecha de presentación y número de la solicitud internacional: 02.08.2013 PCT/US2013/053493

(87) Fecha y número de publicación internacional: 06.02.2014 WO14022811

96 Fecha de presentación y número de la solicitud europea: 02.08.2013 E 13826083 (1) (97) Fecha y número de publicación de la concesión europea: 19.09.2018 EP 2880160

(54) Título: Aislamiento de mutantes potenciadores del tráfico de proteína de entrega de fármacos

(30) Prioridad:

03.08.2012 US 201261679306 P

Fecha de publicación y mención en BOPI de la traducción de la patente: **06.03.2019** 

(73) Titular/es:

CEDARS-SINAI MEDICAL CENTER (100.0%) 8700 Beverly Boulevard Los Angeles, CA 90048, US

(72) Inventor/es:

MEDINA-KAUWE, LALI K.

(74) Agente/Representante:

ARIAS SANZ, Juan

#### **DESCRIPCIÓN**

Aislamiento de mutantes potenciadores del tráfico de proteína de entrega de fármacos

#### 5 Campo de la invención

15

20

25

45

50

55

60

65

La invención proporciona composiciones para la función de penetración celular para mejorar la entrega de fármacos a orgánulos específicos y métodos de generación de dichas composiciones.

#### 10 Antecedentes de la invención

La evolución dirigida se ha utilizado para generar cápsides de virus adenoasociados pseudotipados (VAA, por sus siglas en inglés) con nuevo tropismo, entrega inespecífica reducida y evasión inmunitaria (Kwon y Schaffer, 2008; Maheshri et al., 2006). La bioselección de la presentación de fagos y las bibliotecas víricas completas in vitro e in vivo con diferentes presiones selectivas ha generado proteínas con propiedades deseadas tales como la mejora de la unión y la captación de ligandos, las interacciones inmunitarias o las actividades enzimáticas (Yuan et al., 2005). Por tanto, esta metodología puede ser una alternativa potente y más eficaz a la mutación racional para crear nuevas variantes de proteínas con características mejoradas. El enfoque más recientemente desarrollado para este proceso emplea PCR propensa a errores y extensión escalonada para crear una biblioteca de variantes que puede cribarse contra diferentes tipos celulares para seleccionar vectores específicos para células específicas (Zhao et al., 1998). El documento US 2012/004181 A1 desvela un sistema de entrega dirigida para ARNip o tecnología antisentido y un método de tratamiento del cáncer mediante la administración de una dosis terapéuticamente eficaz de HerPBK10 combinado con ARNip, dando como resultado la inhibición de la expresión de Her2 y la muerte celular. El documento WO 98/35036 A1 desvela variantes de heregulina que son capaces de unirse a un receptor ErbB, incluyendo variantes de heregulinas humanas y, en particular, variantes de heregulina-beta 1 que tienen una afinidad potenciada por los receptores ErbB-3 y ErbB-4, en el que las variantes incluyen al menos una sustitución de aminoácido y pueden incluir modificaciones adicionales. El documento WO 2009/009441 A2 desvela un complejo que puede inyectarse en el cuerpo para concentrarse en las células diana para entregar moléculas, un sistema de entrega de fármacos que incluye componentes que se autoensamblan en un conjugado dirigido y una proteína transportadora dirigida y una secuencia de ácido nucleico unida no covalentemente a uno o más fármacos. Hasta la fecha, aún no se ha desarrollado ningún proceso para aislar variantes de proteínas con funciones mejoradas de tráfico intracelular. La presente invención introduce un nuevo procedimiento y nuevas moléculas de proteínas con funciones de penetración celular mejoradas para la entrega de fármacos como resultado del procedimiento.

#### 35 Sumario de la invención

La presente invención se refiere a un polipéptido para entregar un agente terapéutico a un orgánulo de una célula, que comprende un polipéptido de base de pentona (PB, por sus siglas en inglés) de adenovirus, en el que:

el polipéptido de base de pentona comprende el polipéptido de base de pentona indicado en la SEQ ID NO: 4, SEQ ID NO: 6, SEQ ID NO: 8, SEQ ID NO: 12 o SEQ ID NO: 20; o

el polipéptido de base de pentona consiste en el polipéptido de base de pentona indicado en la SEQ ID NO: 2, SEQ ID NO: 6, SEQ ID NO: 8, SEQ ID NO: 10, SEQ ID NO: 14, SEQ ID NO: 16 o SEQ ID NO: 18; o

el polipéptido de base de pentona es un polipéptido de base de pentona de adenovirus humano de tipo 5 que comprende una mutación Leu60Trp; o

el polipéptido de base de pentona es un polipéptido de base de pentona de adenovirus humano de tipo 5 que comprende una mutación Lys375Glu, una mutación Val449Met y una mutación Pro469Ser. En el presente documento también se desvela un método de potenciación del tráfico a una célula, que comprende proporcionar una composición que comprende una proteína de base de pentona (PB) con una o más mutaciones que potencian la entrada celular y administrar una dosis eficaz de la composición a la célula. En una realización, la una o más mutaciones es 111C y/o 333F. En otra realización, el polipéptido de la presente invención se dirige al citoplasma y/o núcleo de la célula. En otra realización, la presente invención se refiere a un agente terapéutico que comprende el polipéptido de la presente invención, en la que la composición comprende adicionalmente un fármaco terapéutico. En otra realización, la célula es una célula tumoral. En otra realización, la una o más mutaciones es la SEQ ID NO: 1, la SEQ ID NO: 2, la SEQ ID NO: 3, la SEQ ID NO: 4, la SEQ ID NO: 5, la SEQ ID NO: 6, la SEQ ID NO: 7, la SEQ ID NO: 8, la SEQ ID NO: 9, la SEQ ID NO: 10, la SEQ ID NO: 11, la SEQ ID NO: 12, la SEQ ID NO: 13, la SEQ ID NO: 14, la SEQ ID NO: 15, la SEQ ID NO: 16, la SEQ ID NO: 17, la SEQ ID NO: 18, la SEQ ID NO: 19 y/o SEQ ID NO: 20.

Otras realizaciones incluyen un método para producir una molécula de entrega de fármaco que se dirige a un orgánulo. El método incluye los siguientes etapas: a) obtener un polinucleótido que codifique un gen de la base de pentona (PB) de adenovirus humano y generar mutantes del polinucleótido, b) clonar los polinucleótidos mutantes en vectores de fagos y generar una biblioteca de fagos que comprenda los vectores de fagos, c) transformar células

con la biblioteca de fagos, d) fraccionar las células transformadas y recoger el orgánulo de las células transformadas, e) amplificar los fagos del orgánulo recogido, f) transformar células con los fagos amplificados del orgánulo recogido, g) repetir las etapas (d), (e) y (f), h) titular los fagos del orgánulo recogido, i) seleccionar los fagos con el título más alto y obtener las secuencias del polinucleótido mutante de los fagos y j) producir un polipéptido mutante codificado por una de las secuencias polinucleotídicas mutantes. En otra realización, el orgánulo se selecciona entre el grupo que consiste en mitocondria, aparato de Golgi, retículo endoplásmico, núcleo, ribosomas, membrana plasmática y citosol. En otra realización, las células son células de mamífero o no son de mamífero. En otra realización, los mutantes se generan usando uno o más de entre métodos basados en PCR, mutagénesis química, mutagénesis inducida por ultravioleta o una combinación de los mismos. En otra realización, la molécula de entrega de fármaco comprende un dominio de direccionamiento, un dominio de ligando endosomolítico y un dominio cargado positivamente.

Otras realizaciones incluyen un polipéptido para entregar un agente terapéutico a un orgánulo, que comprende un polipéptido codificado por una o más mutaciones de la base de pentona (PB) que potencian la entrada celular como se define en las reivindicaciones. En otra realización, la una o más mutaciones de la base de pentona (PB) incluyen 111C y/o 333F. En otra realización, el polipéptido comprende adicionalmente un motivo de polilisina. En otra realización, el polipéptido comprende adicionalmente un dominio de direccionamiento de heregulina. En otra realización, la una o más mutaciones de PB comprenden una supresión C terminal.

20 Otras realizaciones incluyen un agente terapéutico que comprende el polipéptido como se define en las reivindicaciones y un fármaco terapéutico. En otra realización, el fármaco terapéutico es un agente quimioterápico.

En el contexto de la presente invención también se desvela un método de producción de un transportador sin actividad proliferativa, que comprende a) obtener un polinucleótido que codifique el dominio de unión al receptor de heregulina (Her) y generar mutantes en el polinucleótido, b) clonar los polinucleótidos de Her mutantes en vectores de fagos y generando una biblioteca de fagos que comprenda los vectores de fagos, c) transformar células MDA-MB-435 con la biblioteca de fagos en presencia de inhibidores mitóticos, d) fraccionar la célula transformada y extraer la fracción de membrana de las células MDA-MB-435, e) recoger fagos de membrana de la fracción de membrana, f) transformar los fagos de membrana en células MDA-MB-435 en presencia de inhibidores mitóticos, g) repetir las etapas (d), (e) y (f), h) controlar la proliferación de células MDA-MB-435 en cada ronda y seleccionar los fagos de membrana con la proliferación más baja de células MDA-MB-435, i) obtener las secuencias de los mutantes polinucleotídicos de Her en los fagos de membrana seleccionados y j) producir polipéptidos codificados por las secuencias de Her y el gen de la base de pentona, donde los polipéptidos son el transportador sin actividad proliferativa.

Otras realizaciones incluyen un polipéptido como se define en las reivindicaciones para entregar productos terapéuticos al núcleo, que comprende un polipéptido codificado por secuencias de Her mutantes. En otra realización, el polipéptido comprende adicionalmente un polipéptido que codifica proteína de base de pentona (PB) como se define en las reivindicaciones y un motivo de polilisina. En otra realización, la proteína de PB es una proteína de base de pentona mutante como se define en las reivindicaciones.

Otras realizaciones incluyen un agente terapéutico que comprende un polipéptido como se define en las reivindicaciones y un fármaco terapéutico.

#### Breve descripción de las figuras

10

15

25

30

35

40

45

50

55

60

65

Las Figura 1 representan, de acuerdo con una realización en el presente documento, la estrategia de bioselección.

La Figura 2 representa, de acuerdo con una realización en el presente documento, una mutagénesis aleatoria basada en PCR del gen de la base de pentona. El producto de PCR (justo por encima de la banda de 1600 pb) contiene 100 ng de ADN, basado en el análisis de densitometría, lo que proporciona un rendimiento total de ~4800 ng. Como la diana inicial de ADN era de 97 ng, se obtiene una relación de rendimiento/inicial de ~50 y un número de duplicación de ~5,6, que cuando se extrapola contra la curva patrón proporcionada en el protocolo del fabricante (Genemorph II, Strategene, La Jolla, CA, EE.UU.), corresponde a una tasa de mutación de ~8/kb.

La Figura 3 representa, de acuerdo con una realización en el presente documento, el aislamiento de fagos que presentan variantes de base de pentona con una partición potenciada en el compartimento nuclear. Una biblioteca de fago T7 que presenta PB mutagenizada aleatoriamente se añadió a 1x10^6 células HeLa a 1x10^8 ufp siguiendo las condiciones que se describen en el texto para la unión celular y la absorción. Las células se recogieron mediante tripsinización para retirar cualquier fago unido a la superficie, después se fraccionaron usando un kit de fraccionamiento comercial (Qproteome Cell Compartment Kit; Qiagen Inc., Valencia, CA, EE.UU.). El fago se precipitó con PEG durante la noche a partir de cada fracción siguiendo procedimientos convencionales, después se resuspendió en medios bacterianos TB y se añadió a bacterias BLT5403 para amplificar el fago aislado. El fago amplificado se tituló mediante un ensayo de placa y después se volvió a seleccionar en HeLa usando el mismo título y las condiciones descritas anteriormente. El fago obtenido a partir de fracciones citosólicas se sometió a 2 rondas.

### ES 2 703 052 T3

La Figura 4 representa, de acuerdo con una realización del presente documento, la alineación de variantes de tráfico aisladas a partir de bioselección.

La Figura 5 representa, de acuerdo con una realización del presente documento, el mutante de longitud completa, 111C, que presenta un tráfico potenciado hacia el citoplasma y el núcleo. La Figura 5 (A) representa que la proteína se precipitó a partir de cada fracción mediante precipitación con acetona y los sedimentos se resuspendieron en 40 ul de tampón de desalado, seguido de un análisis mediante SDS-PAGE y transferencia Western. La Figura 5 (B) representa el análisis de densidades de banda usando la Imagen J que muestra un aumento de 111C en las fracciones tanto citosólica como nuclear en comparación con la proteína de tipo silvestre. Ensayo de tráfico y fraccionamiento celular: se separaron células HeLa adherentes que crecían en matraces con 5 ml de 1XPBS + EDTA 2 mM a incubación a 37 °C con agitación durante 50 minutos y se transfirieron a tubos cónicos de 15 ml. Se midió la densidad de las células y las células se distribuyeron en tubos separados a 5x106 células por tubo. Las células se lavaron con 1X PBS + Ca<sup>2+</sup> + Mg<sup>2+</sup> tres veces para retirar el EDTA y los sedimentos celulares se resuspendieron en 0,7 ml de Tampón A (HEPES 20 mM, pH 7,4; MgCl<sub>2</sub> 2 mM; BSA al 3 % en DMEM). Se añadió proteína de base de pentona de tipo silvestre (TS, por sus siglas en inglés) o mutante (111C, 333F) (450 µg) a alícuotas de células separadas y las mezclas se incubaron a 4 °C durante 2 horas con agitación para promover la unión al receptor, seguido de incubación a 37 °C durante 2 h con agitación para promover la internalización de la proteína unida al receptor. Los tratamientos de control no recibieron ninguna proteína (NP, por sus siglas en inglés). Después, las células se recogieron y procesaron para el fraccionamiento subcelular usando el kit de ensayo **Qproteome Cell Compartment (Qiagen).** 

10

15

20

25

30

35

40

55

La Figura 6 representa, de acuerdo con una realización del presente documento, mutantes de PB, 111C y 333F, presentan una entrada nuclear mejorada en comparación con la PB de tipo silvestre. La Figura 6 (A) representa el tráfico intracelular y la inmunocitoquímica. El procedimiento siguió los protocolos establecidos detallados en *Gene Therapy* (2006) 13, 821-836. Se usó anticuerpo anti-base de pentona (anticuerpo Ad5) a una dilución de 1:500. Se usó el anticuerpo anti-conejo de cabra Alexa-Flúor 488 a una dilución de 1:400 (2º anticuerpo). Se usó faloidina a una dilución de 1:100 y se usó DAPI a 300 nM. Color verde: PB de tipo silvestre (TS, por sus siglas en inglés) o mutante (111C, 333F); color rojo: actina; color azul: núcleo. La Figura 6 (B) representa la cuantificación del tráfico de proteínas. Se seleccionaron para la cuantificación dieciséis células de cada tratamiento representado en el panel izquierdo. Los recuentos se basaron en el histograma de cada imagen en Adobe Photoshop. Las barras representan los recuentos de píxeles de color verdes dentro de la ventana 80-255 en el canal de color verde.

La Figura 7 representa, de acuerdo con una realización del presente documento, una Alineación actualizada de Mutantes de PB. Las nuevas longitudes de péptidos se basan en secuencias de aminoácidos traducidas a partir de secuencias de ácido nucleico de clones mutantes. Se proporcionan secuencias en las Figuras 8-17 del presente documento.

La Figura 8 representa, de acuerdo con una realización del presente documento, la secuencia de ácido nucleico y peptídica de la PB mutada de la Fracción 111 Clon A (111A).

La Figura 9 representa, de acuerdo con una realización del presente documento, la secuencia de ácido nucleico y de aminoácidos prevista de la PB mutada de la Fracción 111 Clon C (111C).

La Figura 10 representa, de acuerdo con una realización del presente documento, la secuencia de ácido nucleico y peptídica de la PB mutada de la Fracción 111 Clon G (111G).

La Figura 11 representa, de acuerdo con una realización del presente documento, la secuencia de ácido nucleico y peptídica de la PB mutada de la Fracción 331 Clon E (331E).

La Figura 12 representa, de acuerdo con una realización del presente documento, la secuencia de ácido nucleico y peptídica de la PB mutada de la Fracción 331 Clon I (331I).

La Figura 13 representa, de acuerdo con una realización del presente documento, la secuencia de ácido nucleico y peptídica de la PB mutada de la Fracción 331 Clon J (331J).

La Figura 14 representa, de acuerdo con una realización del presente documento, la secuencia de ácido nucleico y peptídica de la PB mutada de la Fracción 333 Clon A (333A).

La Figura 15 representa, de acuerdo con una realización del presente documento, la secuencia de ácido nucleico y peptídica de la PB mutada de la Fracción 333 Clon D (333D).

La Figura 16 representa, de acuerdo con una realización del presente documento, la secuencia de ácido nucleico y peptídica de la PB mutada de la Fracción 333 Clon E (333E).

La Figura 17 representa, de acuerdo con una realización del presente documento, la secuencia de ácido nucleico y peptídica de la PB mutada de la Fracción 333, clones F, G y H (333F, 333G, 333H).

#### Descripción detallada de la invención

15

20

25

30

35

Como se usa en el presente documento, la abreviatura "PB" significa base de pentona.

Se ha desarrollado una diversidad de reactivos para entregar genes terapéuticos y fármacos a células enfermas, e incluyen liposomas, polímeros sintéticos, péptidos, proteínas, virus y nanopartículas víricas (Medina-Kauwe, 2006; MedinaKauwe et al., 2005). Normalmente, las partículas formadas mediante estos reactivos requieren modificaciones para facilitar la entrega de carga útil de gen o fármaco. Dichas modificaciones incluyen adjuntar ligandos o anticuerpos de direccionamiento, agentes de penetración de membrana y/o agentes de direccionamiento intracelular (tal como direccionamiento nuclear). Estas modificaciones por lo general se introducen a través de un diseño racional y, por tanto, cada nueva variante generada mediante dicha modificación requiere ensayos empíricos. Esto puede requerir mucho tiempo y trabajo y conlleva el riesgo de producir una actividad subóptima.

Los intentos pasados y presentes para mejorar la penetración de la membrana celular y/o el tráfico intracelular han utilizado el diseño racional para conjugar la penetración celular o los péptidos de direccionamiento intracelular con transportadores de fármacos. Un enfoque de este tipo requiere ensayos empíricos de cada molécula. Se han sometido a ensayo numerosos tipos de péptidos de penetración celular para potenciar la entrega de genes y fármacos, e incluyen AntP, TAT, GALA, melitina de abeja y péptidos similares (Medina-Kauwe, 2006; Medina-Kauwe et al., 2005). Análogamente, se ha añadido la actividad de direccionamiento nuclear a agentes de entrega de genes a través de la anexión de diferentes dominios polibásicos tales como la NLS SV40, HMG-1, protamina y péptidos o proteínas similares (Medina-Kauwe, 2006; Medina-Kauwe et al., 2005). Si bien cada uno de estos péptidos posee la capacidad de penetrar en las membranas celulares o dirigirse a compartimentos intracelulares, incluyendo el núcleo, sus actividades se alteran cuando se acoplan covalentemente con otra molécula o se expresan como una proteína de fusión con otra molécula. Además, el ensayo de cada variante diferente de estos péptidos consume mucho tiempo y requiere mucho trabajo. Por tanto, si bien el diseño racional y los ensayos empíricos son la solución existente para este problema, este enfoque tiene sus limitaciones.

La invención que se describe en el presente documento elude el tiempo y el esfuerzo necesarios para el diseño racional y los ensayos empíricos de las proteínas/péptidos de penetración celular/tráfico intracelular mediante el uso de presión selectiva para aislar proteínas mutantes que han adquirido una penetración celular, un tráfico intracelular y/u una orientación subcelular mejorados. Las proteínas mutantes derivadas de este proceso tienen ventajas únicas sobre las proteínas parentales o las proteínas de entrega de genes/fármacos existentes actualmente en uso debido a las características mejoradas adquiridas a través de la evolución artificial/presión selectiva. Finalmente, las proteínas específicas aisladas mediante el proceso que se describe a continuación proporcionarán una ventaja sobre los péptidos de penetración celular existentes debido a sus características mejoradas de tráfico y lisis de membrana. Por tanto, pueden usarse para aumentar la entrega de genes y fármacos y, por tanto, potenciar la eficacia terapéutica de partículas utilizadas en la nanomedicina.

La invención proporciona un método para producir una molécula de entrega de fármacos que se dirige a un orgánulo. El método incluye las etapas de (a) obtener un polinucleótido que codifique un gen de base de pentona de adenovirus humano y generar mutantes del polinucleótido; (b) clonar los polinucleótidos mutantes en vectores de fagos y generar una biblioteca de fagos que comprenda los vectores de fagos; (c) transformar células con la biblioteca de fagos; (d) fraccionar las células transformadas y recoger el orgánulo de las células transformadas; (e) amplificar los fagos del orgánulo recogido; (f) transformar células con los fagos amplificados del orgánulo recogido; (g) repetir las etapas (d), (e) y (f); (h) titular los fagos de los orgánulos recogidos; (i) seleccionar los fagos con el título más alto y obtener las secuencias del polinucleótido mutante a partir de los fagos; y (j) producir un polipéptido mutante codificado por una de las secuencias de polinucleótidos mutantes.

En algunas realizaciones, el orgánulo se selecciona entre el grupo que consiste en mitocondria, aparato de Golgi, retículo endoplásmico, núcleo, ribosomas, membrana plasmática y citosol. Las células pueden ser células de mamífero o no son de mamífero. Los mutantes pueden generarse usando cualquier método de mutagénesis aleatoria o método de mutagénesis dirigida. Los ejemplos de métodos que pueden usarse para generar mutantes incluyen, pero no se limitan a, uno o más de entre métodos basados en PCR, mutagénesis química, mutagénesis inducida por radiación ultravioleta o una combinación de los mismos. Las mutaciones en el gen de la base de pentona pueden ser una o más de entre inserciones, supresiones, sustituciones o una combinación de las mismas.

En una realización de la invención, la molécula de entrega de fármacos comprende un dominio de direccionamiento, un dominio de ligando endosomolítico y un dominio cargado positivamente.

La invención también proporciona un polipéptido para entregar un agente terapéutico a un orgánulo de una célula como se define en las reivindicaciones. La mutación en el gen de la base de pentona puede aislarse a) obteniendo un polinucleótido que codifique el gen de la base de pentona y generando mutantes del polinucleótido; (b) clonar el polinucleótido mutante en un vector de fago y generar una biblioteca de fagos que comprenda los vectores de fagos; (c) transformar células con la biblioteca de fagos; (d) fraccionar las células transformadas y recoger el orgánulo de las células transformadas; (e) amplificar los fagos de los orgánulos recogidos; (f) transformar células con los fagos amplificados del orgánulo recogido; (g) repetir las etapas (d), (e), (f) y (g); (h) titular los fagos de los orgánulos

recogidos en cada ronda; (i) seleccionar los fagos con el título más alto y obtener las secuencias del polinucleótido mutante del fago; y (j) producir polipéptidos codificados por las secuencias, en los que los polipéptidos son las moléculas de entrega de fármacos que se dirigen a orgánulos. El polipéptido comprende adicionalmente un motivo de polilisina y un dominio de direccionamiento, por ejemplo, el dominio de direccionamiento de heregulina.

La invención proporciona adicionalmente un agente terapéutico que comprende el polipéptido como se define en las reivindicaciones y un fármaco terapéutico. Un fármaco terapéutico puede ser cualquier fármaco que, por ejemplo, trate, inhiba, prevenga, mitigue los efectos de, reduzca la gravedad, reduzca la probabilidad de desarrollar, disminuya la progresión y/o cure una enfermedad. Las enfermedades abordadas por los agentes terapéuticos incluyen, pero no se limitan a, carcinomas, sarcomas, linfomas, leucemia, tumores de células germinales, blastomas, antígenos expresados en diversas células inmunitarias y antígenos expresados en células asociadas a diversas enfermedades hemáticas, enfermedades autoinmunitarias y/o enfermedades inflamatorias. Los agentes terapéuticos pueden ser un agente quimioterápico.

También se desvela en el contexto de la presente invención un método de producción de un transportador sin 15 actividad proliferativa. El método comprende (a) obtener un polinucleótido que codifique el dominio de unión al receptor de heregulina (Her) y que genere mutantes en el polinucleótido; (b) clonar los polinucleótidos de Her mutantes en vectores de fagos y generar una biblioteca de fagos que comprenda los vectores de fagos; (c) transformar células MDA-MB-435 con la biblioteca de fagos en presencia de inhibidores mitóticos; (por ejemplo 20 taxol); (d) fraccionar la célula transformada y extraer la fracción de membrana de las células MDA-MB-435; (e) recoger fagos de membrana de la fracción de membrana; (f) transformar los fagos de membrana en células MDA-MB-435 en presencia de inhibidores mitóticos; (g) repetir las etapas (d), (e) y (f); (h) controlar la proliferación de células MDA-MB-435 en cada ronda y seleccionar los fagos de membrana con la proliferación más baja de células MDA-MB-435; (i) obtener las secuencias de los mutantes polinucleotídicos de Her en los fagos de membrana 25 seleccionados; y (j) producir polipéptidos codificados por las secuencias de Her y el gen de la base de pentona, en los que los polipéptidos son el transportador sin actividad proliferativa. Las mutaciones en el gen Her pueden ser una o más inserciones, supresiones, sustituciones o una combinación de las mismas.

La invención proporciona adicionalmente un polipéptido como se define en las reivindicaciones para entregar productos terapéuticos al núcleo, que comprende un polipéptido codificado por las secuencias de Her mutantes en las que el Her mutante se obtiene de acuerdo con el método descrito anteriormente. El polipéptido como se define en las reivindicaciones comprende adicionalmente un polipéptido que codifica proteína de base de pentona y un motivo de polilisina. La proteína de base de pentona es una proteína mutante como se define en las reivindicaciones.

#### **Ejemplos**

5

10

30

35

45

50

#### Ejemplo 1

40 Aislamiento de mutantes potenciadores del tráfico

Anteriormente, se desarrolló una proteína de base de pentona de adenovirus recombinante para dirigir y entregar una diversidad de moléculas terapéuticas a células tumorales in vitro e in vivo (Agadjanian et al., 2012; Agadjanian et al., 2009; Agadjanian et al., 2006; Medina-Kauwe et al., 2001a; Medina-Kauwe et al., 2001b; Rentsendorj et al., 2008). Actualmente, la proteína recombinante de base de pentona (la misma que comprende el dominio 'PB' de HerPBK10, utilizado para dirigir productos terapéuticos a células tumorales HER2+; Agadjanian et al., 2012; Agadjanian et al., 2009; Agadjanian et al., 2006; MedinaKauwe et al., 2001b; Rentsendorj et al., 2008) avanza a través de múltiples vías de entrada celular después de la unión celular, algunas de las cuales, pero no todas, apoyan la penetración de la membrana y la entrada en el citosol (Rentsendorj et al., 2006). Para mejorar esta función y potenciar la entrega y la penetración de los productos terapéuticos en dianas celulares, se usó un enfoque de evolución dirigida para aislar variantes de base de pentona con una actividad de penetración celular potenciada mediante el uso de acumulación nuclear como lectura, ya que el escape endosómico permite la entrada en el núcleo (Rentsendorj et al., 2006).

Procedimientos: Este proceso de dos etapas implica: 1. La creación de una biblioteca mutante a través de mutagénesis aleatoria y 2. La introducción de una presión selectiva para aislar variantes con función mejorada, dependiendo del proceso de selección. En este caso, el aislamiento de los fagos que sobreviven a la entrada en el citosol y/o núcleo servirá como la presión selectiva, que se espera que produzca variantes con una actividad de penetración celular potenciada (resumido en la Fig. 1). En consecuencia, los inventores han mutagenizado aleatoriamente el gen de la base de pentona y han generado una biblioteca de mutantes clonados en un vector de fago K.T7. Basándose en estudios de evolución dirigida establecidos anteriormente (Cherry et al., 1999; Shafikhani et al., 1997; Wan et al., 1998; You y Arnold, 1996), los inventores buscaron una frecuencia de mutación de 1-4 cambios de aminoácidos (o 2-7 cambios de nucleótidos) por gen. Basándose en el rendimiento del producto usando un método especializado de reacción en cadena de la polimerasa (PCR, por sus siglas en inglés) (GeneMorphll Random Mutagenesis Kit; Stratagene, La Jolla, CA, EE.UU.), los inventores consiguieron una frecuencia de mutación estimada de ~8 nucleótidos/kb o 13,6 nucleótidos por gen de base de pentona (Fig. 2). Los inventores

insertaron este producto en un vector de fago T7-Select y empaquetaron el fago recombinante para producir un título de biblioteca amplificada de 5x10<sup>10</sup> ufp/ml.

La biblioteca se seleccionó en células HeLa (que expresan receptores de integrinas para la unión y la captación de la proteína PB). Se incubaron fagos en las células a 4 °C durante 1 h para promover la unión al receptor, pero no la captación, después las células se lavaron y se incubaron durante 2 horas a 37 °C para promover la internalización. Después de la captación, las células recogidas se sometieron a fraccionamiento para aislar fracciones citosólicas y nucleares. Los fagos amplificados a partir de cada fracción después se sometieron a bioselección repetida y las fracciones secuenciales correspondientes se extrajeron de las células recogidas (es decir, se amplificaron fagos nucleares aislados de la ronda 1 y se añadieron nuevamente a las células, seguido del aislamiento repetido de las fracciones nucleares para volver a obtener el fago nuclear). Después de dos o tres rondas de bioselección, se tituló el fago aislado de cada fracción repetida para determinar el enriquecimiento relativo del fago nuclear/citosólico de la biblioteca mutagenizada en comparación con el fago que muestra la base de pentona de tipo silvestre.

Resultados: El fago parental no mutagenizado, T7-PB, produjo una relación de títulos de fagos nucleares/citosólicos de menos de 1, lo que indica que la relación de fagos que llegan al núcleo en 2 h fue inferior a la relación de fagos que permanecieron en el citoplasma (Fig. 3). Por el contrario, después de 2 rondas de bioselección y aislamiento de fagos nucleares (3-3a), se observó un cambio hacia una mayor acumulación nuclear en comparación con la retención citoplásmica, con un aumento significativo en comparación con T7-PB (P = 0,05) (Fig. 3). Incluso los fagos aislados de 3 rondas de selección de fracciones citosólicas (1-1-1) mostraron un aumento relativo, aunque no altamente significativo (P = 0,07) en la partición nuclear en comparación con T7-PB (Fig. 3).

Después de tres rondas de bioselección y aislamiento de mutantes citosólicos y nucleares, los inventores secuenciaron clones seleccionados aleatoriamente de cada población enriquecida y descubrieron que la mayoría de los clones aislados de las fracciones tanto citosólica como nuclear codificaban la proteína truncada carboxi-[C-] terminal (Fig. 4). Los motivos de unión a integrinas 287LDV y 340RGD localizados cerca de la mitad de la secuencia lineal de la base de pentona de tipo silvestre (PB ts) no se conservaron en la mayoría de los clones truncados. Uno de los mutantes truncados contiene el motivo LDV, pero no el RGD, mientras que los truncamientos restantes carecen de los motivos tanto LDV como RGD. Los clones de longitud completa aislados a partir de la bioselección conservan los motivos tanto LDV como RGD, pero también contienen varias mutaciones puntuales que introducen cambios potenciales de aminoácidos que alteran la función (Fig. 4). Entre estos están un reemplazo Leu60Trp en el clon de la fracción citosólica 111C; y cambios de aminoácidos Lys375Glu, Val449Met y Pro469Ser en el clon de fracción nuclear 333F. Para someter a ensavo la capacidad de cada variante aislada para transmitir una penetración citosólica y/o nuclear potenciada, el tráfico intracelular de cada uno se comparará con la proteína original mediante inmunofluorescencia y microscopía confocal y se confirmará mediante fraccionamiento subcelular. Específicamente, como los mutantes de longitud completa (111C y 333F) y el mutante 331J conservan los motivos de unión a integrinas, estas variantes se someten a ensayo en comparación con PB ts. ya que se predice que entrarán en las células a través de la unión y captación de integrinas. Mientras tanto, como las variantes truncadas restantes carecen de cualquier motivo de unión al receptor, éstas se insertarán en HerPBK10 para reemplazar el dominio PB y se someterán a ensayo en comparación con HerPBK10 parental, que entra en las células a través de la unión y la captación del receptor del factor de crecimiento epidérmico humano (HER).

#### Ejemplo 2

10

25

35

45

50

55

60

#### Aislamiento de mutantes de unión al receptor y endocitosis con señalización truncada

<u>Justificación:</u> La proteína de penetración celular dirigida al tumor, HerPBK10, se dirige específicamente al receptor del factor de crecimiento epidérmico humano (HER) a través de la inclusión del dominio de unión al receptor de heregulina, designado en el presente documento como el dominio 'Her' de HerPBK10 (Medina-Kauwe et al., 2001b). Sin embargo, la ligadura de los receptores de heregulina puede inducir una señalización que puede dar como resultado la proliferación, diferenciación y, en algunos casos, la apoptosis de las células tumorales, dependiendo de varios factores, incluyendo la relación de heterodímeros receptores, el subtipo de ligando, el tipo celular y la presencia de determinadas moléculas intracelulares (Aguilar et al., 1999; Lewis et al., 1996; Weinstein et al., 1998). La posibilidad de inducir efectos adversos, tales como la progresión tumoral, conduce a examinar si la presión selectiva introducida por los inhibidores mitóticos puede seleccionar la unión al receptor y mutantes de endocitosis que carezcan de señalización proliferativa. Los inventores propusieron someter a ensayo este enfoque generando una biblioteca de fagos que muestre variantes de Her y cribando la biblioteca para internalizar las especies de Her que carezcan de señal proliferativa mediante el aislamiento del fago internalizado de las células quiescentes y reseleccionando las células de cáncer de mama humano que no proliferen.

<u>Procedimiento:</u> Se producirá una biblioteca de secuencias de Her que contenga mutaciones diferentes distribuidas a través de la secuencia de codificación mediante PCR propensa a errores y extensión escalonada, lo que implica ciclos repetidos de desnaturalización y breve hibridación/extensión después del cebado inicial de las secuencias molde (Zhao et al., 1998). La biblioteca resultante se insertará en los brazos de vector apropiados para transferirla al bacteriófago T7Select (que se desarrolla para presentar proteínas completas) y el fago recombinante producido siguiendo las instrucciones del fabricante (Novagen, Gibbstown, NJ, EE.UU.). Basándose en la bioselección de las

### ES 2 703 052 T3

cápsides de VAA evolucionadas, se añadirá un título inicial de 10^12 fagos a las células MDA-MB-435 mantenidas en medios que contengan inhibidores mitóticos tales como taxol y aproximadamente 30-45 minutos más tarde (el tiempo necesario para la unión e internalización; Medina-Kauwe et al., 2000) las células se recogerán mediante tripsina/EDTA (para retirar el fago no intemalizado) y se extraerán con membrana para aislar la fracción de vesícula del virus en bruto (Qproteome Plasma Membrane Protein Kit, Qiagen Inc., Valencia, CA, EE.UU.), que después puede aislarse mediante bandas de CsCl. Se realizarán de tres a cuatro rondas de selección (es decir, adición de virus aislados a células recién preparadas y repetición de la extracción con membrana) y los virus aislados se caracterizarán de las siguientes maneras. En primer lugar, se fijarán células recién preparadas que reciban virus enriquecidos y se procesarán para inmunofluorescencia usando un anticuerpo anti-fago (Sigma-Aldrich, San Luis, 10 MO, EE.UU.) para confirmar que el fago aislado todavía se internaliza. Se evaluarán células separadas tratadas en paralelo para determinar la tasa de proliferación en comparación con células simuladas y sin tratar, mediante un ensayo metabólico. En segundo lugar, la secuencia de Her del fago aislado se escindirá e insertará en un vector de expresión bacteriana para la producción de proteína recombinante (Medina-Kauwe et al., 2001a), después el mutante Her se sometió a ensayo para determinar la internalización y la actividad proliferativa en células de cáncer de mama humano MDA-MB-435 como se ha descrito anteriormente, en comparación con Her parental, así como en células simuladas y sin tratar. Los clones mutantes se secuenciarán para identificar las regiones mutadas y se insertarán de nuevo en el casete de expresión de HerPBK10, reemplazando el 'Her' parental.

Los diversos métodos y técnicas descritos anteriormente proporcionan varias formas de realizar la solicitud. Por 20 supuesto, ha de entenderse que no necesariamente todos los objetivos o ventajas descritos pueden consequirse de acuerdo con cualquier realización particular descrita en el presente documento. De este modo, por ejemplo, los expertos en la materia reconocerán que los métodos pueden realizarse de una manera que consiga u optimice una ventaja o un grupo de ventajas como se enseña en el presente documento sin conseguir necesariamente otros objetivos o ventajas como se enseña o se sugiere en el presente documento. En el presente documento se 25 menciona una diversidad de alternativas. Ha de entenderse que algunas realizaciones preferidas incluyen específicamente una, otra o varias características, mientras que otras excluyen específicamente una, otra o varias características, mientras que otras más mitigan una característica particular mediante la inclusión de una, otra o varias características ventajosas.

30 Además, el experto en la materia reconocerá la aplicabilidad de diversas características de diferentes realizaciones. De forma similar, los diversos elementos, características y etapas analizados anteriormente, así como otros equivalentes conocidos para cada uno de dichos elementos, características o etapas, pueden emplearse en diversas combinaciones por un experto en la materia para realizar métodos de acuerdo con los principios que se describen en el presente documento. Entre los diversos elementos, características y etapas, algunos se incluirán específicamente 35 y otros se excluirán específicamente en diversas realizaciones.

En algunas realizaciones, los términos "un", "una", "el" y "la" y referencias similares utilizadas en el contexto de describir una realización particular de la solicitud (especialmente en el contexto de algunas de las siguientes reivindicaciones) pueden interpretarse como que incluyen tanto lo singular como lo plural. La indicación de intervalos de valores en el presente documento pretende servir simplemente como un método abreviado que se refiere individualmente a cada valor separado que se encuentra dentro del intervalo. A menos que se indique lo contrario en el presente documento, cada valor individual se incorpora a la memoria descriptiva como si se hubiera indicado individualmente en el presente documento. Todos los métodos que se describen en el presente documento pueden realizarse en cualquier orden adecuado a menos que se indique lo contrario en el presente documento o el contexto lo contradiga claramente. El uso de cualquiera y todos los ejemplos, o expresión de ejemplo (por ejemplo, "tal como") proporcionada con respecto a determinadas realizaciones en el presente documento, tiene por objeto meramente iluminar mejor la solicitud y no representa una limitación en el alcance de la solicitud reivindicada de otro modo. Ninguna frase en la memoria descriptiva debe interpretarse como que indica un elemento no reivindicado esencial para la puesta en práctica de la solicitud.

50

40

45

15

#### **REIVINDICACIONES**

- 1. Un polipéptido para entregar un agente terapéutico a un orgánulo de una célula, que comprende un polipéptido de base de pentona (PB) de adenovirus, en el que:
- el polipéptido de base de pentona comprende el polipéptido de base de pentona indicado en la SEQ ID NO: 4, la SEQ ID NO: 6, la SEQ ID NO: 8, la SEQ ID NO: 12 o la SEQ ID NO: 20; o
- el polipéptido de base de pentona consiste en el polipéptido de base de pentona indicado en la SEQ ID NO: 2, la SEQ ID NO: 6, la SEQ ID NO: 8, la SEQ ID NO: 10, la SEQ ID NO: 14, la SEQ ID NO: 16 o la SEQ ID NO: 18; o
- el polipéptido de base de pentona es un polipéptido de base de pentona de adenovirus humano de tipo 5 que comprende una mutación Leu60Trp; o
- el polipéptido de base de pentona es un polipéptido de base de pentona de adenovirus humano de tipo 5 que comprende una mutación Lys375Glu, una mutación Val449Met y una mutación Pro469Ser.
- El polipéptido de la reivindicación 1, en el que el polipéptido de base de pentona comprende el polipéptido de base de pentona indicado en la SEQ ID NO: 4, la SEQ ID NO: 6, la SEQ ID NO: 8, la SEQ ID NO: 12 o la SEQ ID NO: 20.
  - 3. El polipéptido de la reivindicación 1, en el que el polipéptido de base de pentona consiste en el polipéptido de base de pentona indicado en la SEQ ID NO: 2, la SEQ ID NO: 6, la SEQ ID NO: 8, la SEQ ID NO: 10, la SEQ ID NO: 14, la SEQ ID NO: 16 o la SEQ ID NO: 18.
  - 4. El polipéptido de la reivindicación 1, en el que el polipéptido de base de pentona es un polipéptido de base de pentona de adenovirus humano de tipo 5 que comprende una mutación Leu60Trp.
- 5. El polipéptido de la reivindicación 1, en el que el polipéptido de base de pentona es un polipéptido de base de pentona de adenovirus humano de tipo 5 que comprende una mutación Lys375Glu, una mutación Val449Met y una mutación Pro469Ser.
  - 6. El polipéptido de la reivindicación 1, en el que el polipéptido se dirige al citoplasma o núcleo de la célula.
  - 7. El polipéptido de una cualquiera de las reivindicaciones 1-6, en el que la célula es una célula tumoral.
  - 8. El polipéptido de una cualquiera de las reivindicaciones 1 7, en el que el polipéptido comprende el polipéptido de base de pentona y un motivo de polilisina.
  - 9. El polipéptido de la reivindicación 8, en el que el polipéptido comprende adicionalmente un dominio de direccionamiento de heregulina.
- 10. El polipéptido de una cualquiera de las reivindicaciones 1 7, en el que el polipéptido comprende el polipéptido de base de pentona y un dominio de direccionamiento de heregulina.
  - 11. Un agente terapéutico que comprende el polipéptido de una cualquiera de las reivindicaciones 1-10, en el que la composición comprende adicionalmente un fármaco terapéutico.
- 45 12. El agente terapéutico de la reivindicación 11, en el que el fármaco terapéutico es un agente quimioterápico o un gen.
  - 13. Un método para producir una molécula de entrega de fármaco que se dirige a un orgánulo que comprende:
  - (a) obtener un polinucleótido que codifique un gen de base de pentona (PB) de adenovirus humano y generar mutantes del polinucleótido;
  - (b) clonar los polínucleótidos mutantes en vectores de fagos y generar una biblioteca de fagos que comprenda los vectores de fagos;
  - (c) transformar células con la biblioteca de fagos;
  - (d) fraccionar las células transformadas y recoger el orgánulo de las células transformadas;
- 55 (e) amplificar los fagos del orgánulo recogido;
  - (f) transformar células con los fagos amplificados del orgánulo recogido;
  - (g) repetir las etapas (d), (e) y (f);

5

10

20

30

35

50

- (h) titular los fagos del orgánulo recogido;
- (i) seleccionar los fagos con el título más alto y obtener las secuencias del polinucleótido mutante de los fagos; y
- 60 (j) producir un polipéptido mutante codificado por una de las secuencias de polinucleótidos mutantes.
  - 14. El método de la reivindicación 13, en el que el orgánulo se selecciona entre el grupo que consiste en mitocondria, aparato de Golgi, retículo endoplásmico, núcleo, ribosomas, membrana plasmática y citosol.
- 15. El método de la reivindicación 13, en el que
  - (a) las células son de mamíferos; o

### ES 2 703 052 T3

- (b) las células no son células de mamíferos; o
- (c) en el que los mutantes se generan usando uno cualquiera o más de entre métodos basados en PCR, mutagénesis química, mutagénesis inducida por ultravioleta o una combinación de los mismos; o
- (d) en el que la molécula de entrega de fármaco comprende adicionalmente un dominio de direccionamiento y un dominio cargado positivamente.

Figura 1

Mutagénesis

Micleo

Fraccionamiento

Subcelular

Aislamiento de fagos

Re-selección

Fago T7

Fago T7

Fago T7

Unión y captación de la célula

Núcleo

Fraccionamiento

Re-selección

Figura 2

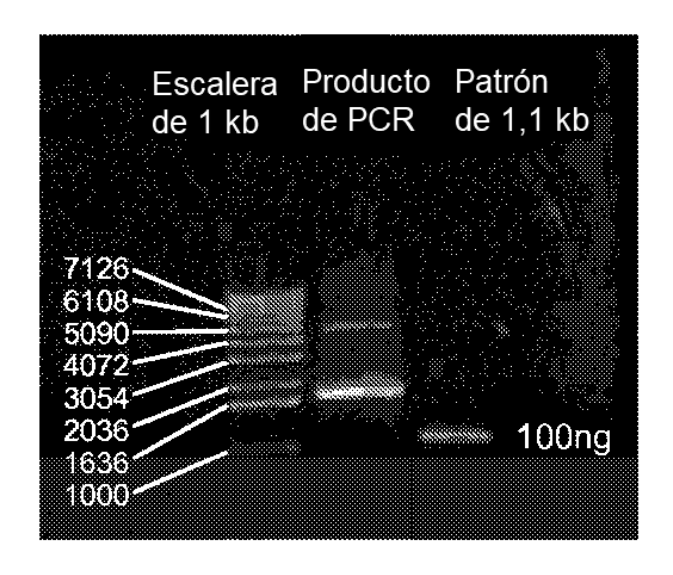
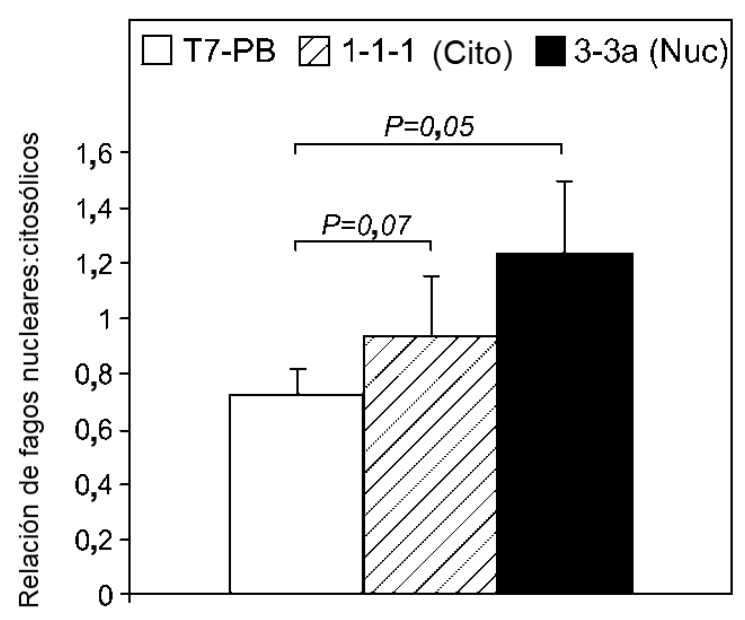


Figura 3



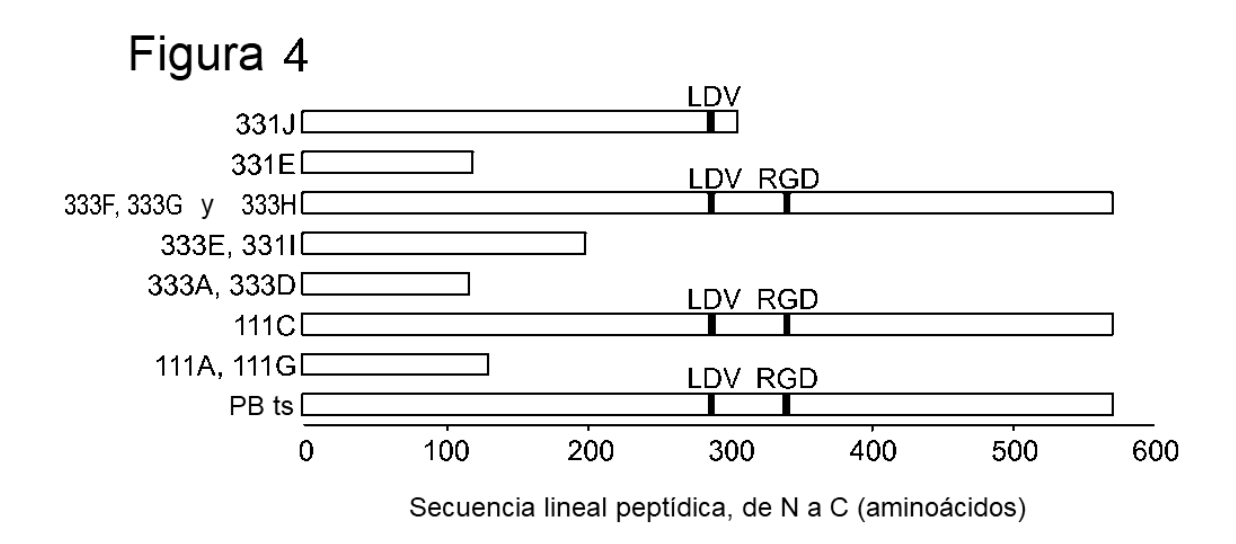
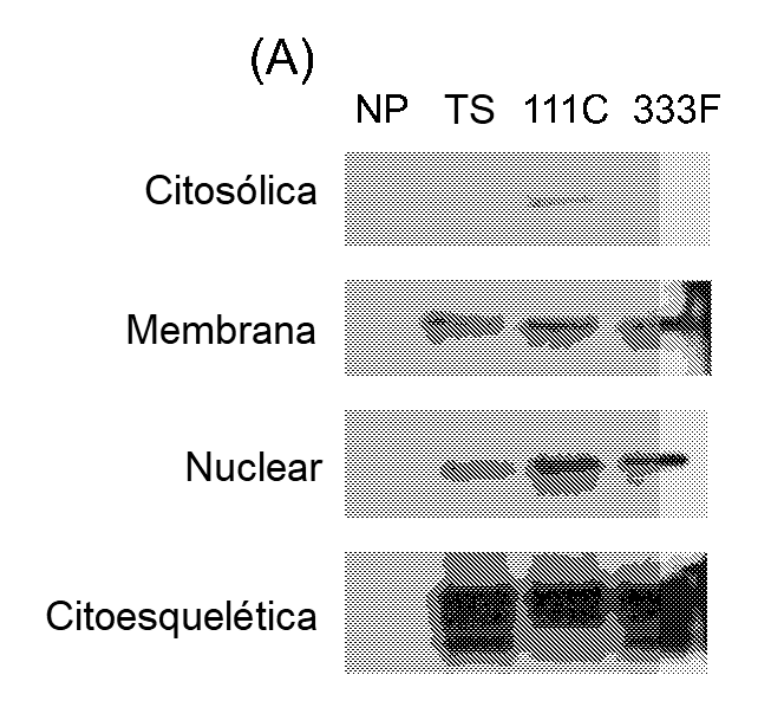
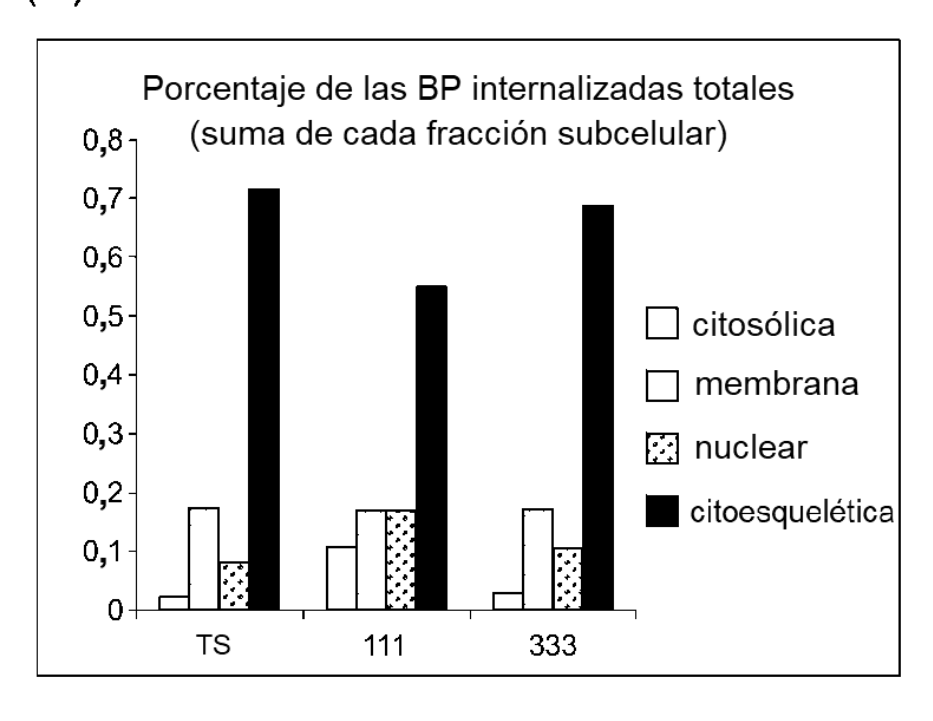
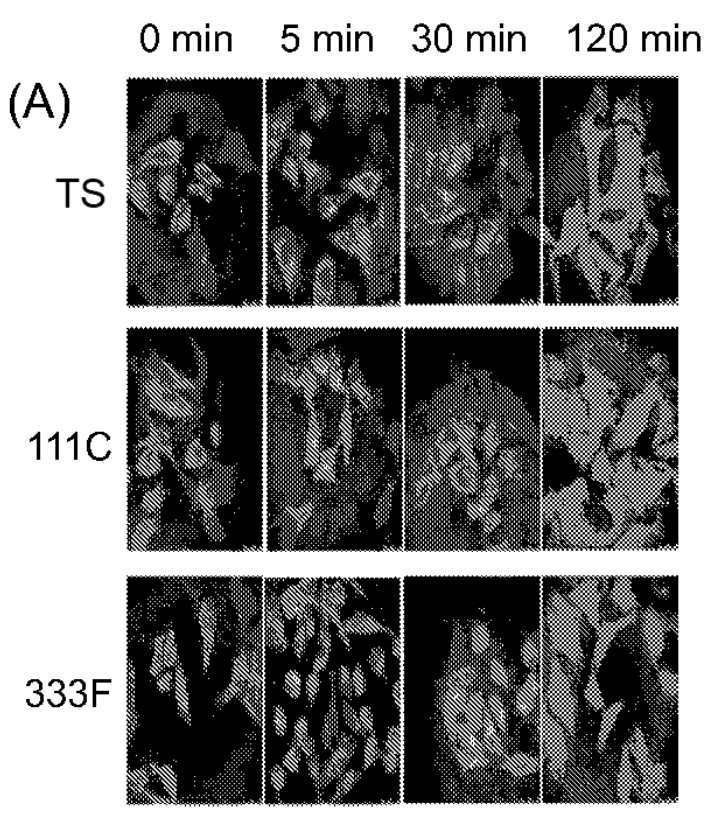


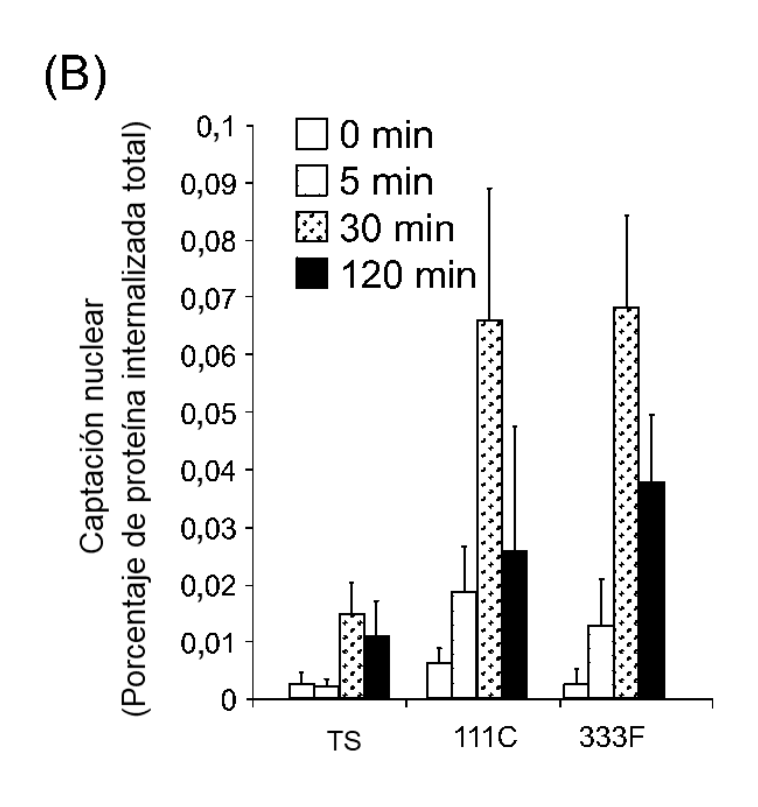
Figura 5

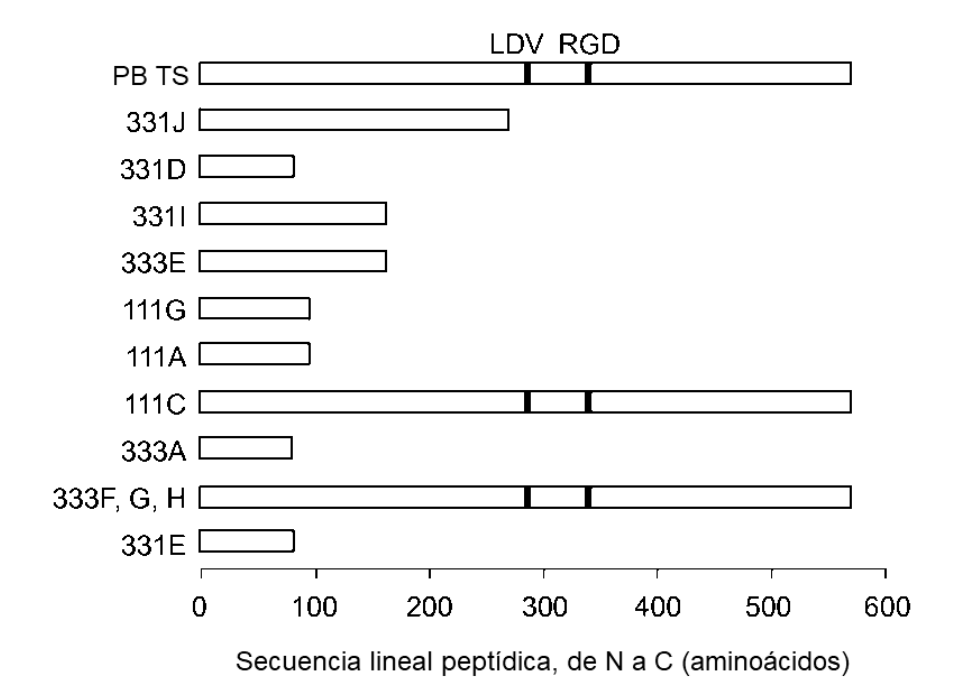


(B)









#### Secuencia de ácido nucleico:

```
TTTTGTTTACTTTAAGAAGGAGATATACAT
ATG CGG GGT TCT CAT CAT CAT CAT CAT GGT ATG GCT AGC ATG
ACT GGT GGA CAG CAA ATG GGT CGG GAT CTG TAC GAC
                                               GAT
                                                    GAC
                        ATG CGG CGC GCG ATG TAT
AAG GAT CGA TGG
GGT CCT CCC TCC TAC GAG AGT GTG GTG AGC GCG GCG CCA GTG
GCG GCG GCG CTG GGT TCT CCC TTC GAT GCT CCC CTG GAC CCG CCG
TTT GTG CCT CCG CGG TAC CTG CGG CCT ACC GGG GGG AGA AAC AGC
ATC CGT TAC TCT GAG TTG GCA CCC CTA TTC GAC ACC ACC CGT GTG
TAC CTG GTG GAC AAC AAG TCA ACG GAT GTG GCA TCC CTG AAC TAC
CAG AAC GAC CAC AGC AAC TTT CTG ACC ACG GTC ATT TAA^{\circ} AAC AAT
                                                    СТТ
   TAC AGC CCG GGG GAG GCA AGC ACA CAG ACC ATC AAT
GAC CGG TCG CAC TGG GGC GGT GAC CTG AAA ACC ATC CTG CAT ACC
AAC ATG CCA AAT GTG AAC GAG TTC ATG TTT ACC AAT AAG TTT AAG
GCG CGG GTG ATG GTG TCG CGC TTG CCT ACT AAG GAC AAT CAG GTG
GAG CTG AAA TAC GAG TGG GTG GAG TTC ACG CTG CCC GAG GGC AAC
TAC TCC GAG ACC ATG ACC ATA GAC CTT ATG AAC AAC GCG ATC GTG
GAG CAC TAC TTG AAA GTG GGC AGA CAG AAC GGG GTT CTG GAA AGC
GAC ATC GGG GTA AAG TTT GAC ACC CGC AAC TTC AGA CTG GGG TTT
GAN CAC GTC ACT GGT CTT GTC ATG CCT GGG GTA TAT ACA AAC GAA
GCC NNC CAT CCA GAC ATC ATT TTG CTG CCA GGA TGC GGG GTG GAC
TTC ACC CAC AGC CGC CTG AGC AAC TTG TTG GGC ATC CGC AAG CGG
CAA CCC TTN CAG GAN GGC TTT AGG ATC NNC NAC GAT GAT CTG GAG
GGT GGT ANC ATT CCC GCA CTG (SEQ ID NO: 1).
```

Bases en mayúsculas y en cursiva indican mutaciones de PB de tipo silvestre

#### Mutaciones

Base 397 (289 ts) C > T, Glutamina > Codón de parada Base 471 (363 ts) C > T, Glicina > Glicina

#### Secuencia de aminoácidos prevista:

MRRAAMYEEGPPPSYESVVSAAPVAAALGSPFDAPLDPPFVPPRYLRPTGGRNSIRYS ELAPLFDTTRVYLVDNKSTDVASLNYQNDHSNFLTTVI (SEQ ID NO: 2)

Número de aminoácidos: 96

Peso molecular: 10531,8

#### Secuencia de ácido nucleico:

TTTAAGAAGGAGANATACAT

```
ATG CGG GGT TCT CAT CAT CAT CAT CAT GGT ATG GCT AGC ATG
ACT GGT GGA CAG CAA ATG GGT CGG GAT CTG TAC GAC GAT GAC GAT
AAG GAT CGA TGG GGA TCC ACG CGG CGC GCG ATG TAT GAG GAA
GGT CCT CCC TCC TAC GAG AGT GTG GTG AGC GCG GCG CCA GTG
GCG GCG GCG CTG GGT TCT CCC TTC GAT GCT CCC CTG GAC CCG CCG
TTT GTG CCT CCG CGG TAC CTG CGG CCT ACC GGG GGG AGA AAC AGC
ATC CGT TAC TCT GAG TGG GCA CCC CTA TTC GAC ACC ACC CGT GTG
TAC CTG GTG GAC AAC AAG TCA ACG GAT GTG GCA TCC CTG AAC TAC
CAG AAC GAC CAC AGC AAC TTT CTG ACC ACG GTC ATT CAA AAC AAT
GAC TAC AGC CCG GGG GAG GCA AGC ACA CAG ACC ATC AAT CTT GAC
GAC CGG TCG CAC TGG GGC GGC CTG AAA ACC ATC CTG CAT ACC
AAC ATG CCA AAT GTG AAC GAG TTC ATG TTT ACC AAT AAG TTT AAG
GCG CGG GTG ATG GTG TCG CGC TTG CCT ACT AAG GAC AAT CAG GTG
GAG CTG AAA TAC GAG TGG GTG GAG TTC ACG CTG CCC GAG GGC AAC
TAC TCC GAG ACC ATG ACC ATA GAC CTT ATG AAC AAC GCG ATC GTG
GAG CAC TAC TTG AAA GTG GGC AGA CAG AAC GGG GTT CTG GAA AGC
GAC ATC GGG GTA AAG TTT GAC ACC CGC AAC TTC AGA CTG GGG TTT
GAC CCC GTC ACT GGT CTT GTC ATG CCT GGG GTA TAT ACA AAC GAA
GCC TTC CAT CCA GAC ATC ATT TTG CTG CCA GGA TGC GGG GTG GAC
TTC ACC CAC AGC CGC CTG ANC AAC TTG TTG GGC ATC CGC AAG CGG
CAN CCC TTC CAG GAG GNN TTT AGG ATC ANC NAC GAT GAT CNG GAG
GGN NGN ANN ATN CCC GCA CTG (SEQ ID NO: 3)
```

Bases en mayúsculas y en cursiva indican mutaciones de PB de tipo silvestre

### Mutaciones

Base 110 (2 ts) T > C, Metionina > Treonina Base 179 (71 ts) T > G, Leucina > Triptófano

Base 1044 C > T, Serina > Serina Base 1518 G > A, Valina > Valina

### Secuencia de aminoácidos prevista:

MRGSHHHHHHGMASMTGGQQMGRDLYDDDDKDRWGSTRRAAMYEEGPPPSYES VVSAAPVAAALGSPFDAPLDPPFVPPRYLRPTGGRNSIRYSEWAPLFDTTRVYLVDN KSTDVASLNYQNDHSNFLTTVIQNNDYSPGEASTQTINLDDRSHWGGDLKTILHTNM PNVNEFMFTNKFKARVMVSRLPTKDNQVELKYEWVEFTLPEGNYSETMTIDLMNN AIVEHYLKVGRQNGVLESDIGVKFDTRNFRLGFDPVTGLVMPGVYTNEAFHPDIILLP GCGVDFTHSRLXNLLGIRKRXPFQEXFRIXXDDXEXXXXPAL (SEQ ID NO: 4)

#### Secuencia de ácido nucleico:

TTTACTTTAAGAAGGAGANATACAT

```
ATG CGG GGT TCT CAT CAT CAT CAT CAT CAT GGT ATG GCT AGC ATG ACT GGT
       CAA ATG GGT CGG GAT CTG TAC GAC GAT
                                            GAC
                                                GAT AAG GAT CGA
        ATG CGG CGC GCG GCG ATG TAT GAG GAA
                                            GGT
                                                CCT
GAG AGT GCG GTG AGC GCG GCG CCA GTG GCG GCG GCG CTG GGT TCT CCC TTC
GAT GCT CCC CTG GAC CCG CCG TTT GTG CCT CCG CGG TAC CTG CGG CCT ACC
GGG GGG AGA AAC AGC ATC CGT TAC TCT GAG TTG GCA CCC CTA TTC GAC ACC
ACC CGT GTG TAC CTG GTG GAC AAC AAG TCA ACG GAT GTG GCA TCC CTG AAC
TAC CAG AAC GAC CAC AGC AAC TTT CTG ACC ACG GTC
                                                ATT
                                                    TAA AAC AAT
            GGG
                GAG GCA
                        AGC
                            ACA
                                CAG
                                    ACC
                                        ATC
                                            AAT
                                                CTT
                                                    GAC GAC
                                                            CGG
   TGG
       GGC
           GGC
                GAC CTG AAA ACC
                                ATC
                                    CTG
                                        CAT
                                            ACC
                                                AAC
                                                    ATG CCA AAT
AAC GAG TTC ATG TTT
                    ACC AAT AAG TTT
                                    AAG GCG
                                            CGG
                                                GTG
                                                    ATG GTG TCG
TTG CCT ACT AAG GAC AAT CAG GTG GAG CTG AAA TAC
                                                GAG TGG GTG GAG
                                                ATA GAC CTT ATG
ACG CTG CCC GAG GGC AAC TAA TCC GAG ACC ATG ACC
AAC GCG ATC GTG GAG CAC TAC TTG AAA GTG GGC AGA CAG AAC GGG GTT
GAA AGC GAC ATC GGG GTA AAG TTT GAC ACC CGC AAC TTC AGA CTG GGG TTT
GAC CAC GTC ACT GGT CTT GTC ATG CCT GGG GTA TAT ACA AAC GAA GCC TTC
CAT CCA GAC ATC ATT TTG CTG CCA GGA TGC GGG GTG GAC TTC ACC CAC AGC
CGC CTG ANC AAC TTG NTG GGC ATC CGC AAG CGG CAA CCN TTN CAG GAG GGC
TTT AGG ATC ANC TAC GAT GAT CTG GAG GGT G (SEO ID NO: 5)
```

Bases en mayúsculas y en cursiva indican mutaciones del tipo silvestre

#### Mutaciones

Base 161 (53 ts) T > C, Valina > Alanina Base 398 (290 ts) C > T, Glutamina > Parada Base 633 (525 ts) C > A, Tirosina > Parada Base 780 (672 ts) C > A, Prolina > Histidina

#### Secuencia de aminoácidos:

MRRAAMYEEGPPPSYESAVSAAPVAAALGSPFDAPLDPPFVPPRYLRPTGGRNSIRYSELAPL FDTTRVYLVDNKSTDVASLNYQNDHSNFLTTVI (SEQ ID NO: 6)

Número de aminoácidos: 96

Peso molecular: 10503,7

#### Secuencia de ácido nucleico:

TTAAGAAGGAGANATACAT

```
ATG CGG GGT TCT CAT CAT CAT CAT CAT GGT ATG GCT AGC ATG ACT GGT
GGA CAG CAA ATG GGT CGG GAT CTG TAC GAC GAT GAC GAT AAG
                                                        GAT CGA
       ATG CGG CGC GCG GCG ATG TAT GAG GAA GGT CCT CCT
                                                        CCC TAC TAC
GAG AGT GTG GTG AGC GCG GCG CCA GTG GCG GCG GCG CTG GGT TCT ACC TTC
GAT GCT
       CCC CTG GAC CCG CCG TTT GTG CCT CCG CGG TAC CTG CGG CCT
                                                                ACC
   GGG AGA AAC AGC ATC CGT
                            TAC TCT GAG
                                       TTG GCA CCC CTA TTC GAC
                                                                ACC
                   GTG GAC
                            AAC AAG TCA ACG
                                           GAT
                                                GTG GCA
ACC CGT GTG TAC
               CTG
                                                        TCC
                                                            CTG
TAC TAG AAC
               CAC AGC AAC
                           TTT
                               CTG ACC ACG
                                                ATT
                                                    CAA
           GAC
                                           GTC
                                                        AAC
       CCG GGG GAG GCA AGC ACA CAG ACC ATC AAT CTT GAC
TAC AGC
                                                        GAC CGG
                                                                TCG
CAC TGG GGC GGC CTG AAA ACC ATC CTG CAT ACC
                                                AAC ATG
                                                        CCA AAT
                                                                GTG
AAC GAG TTC ATG TAT ACC AAT AAG TTT AAG GCG
                                           CGG GTG ATG
                                                        GTG
TTG CCT ACT AAG GAC AAT CAG GTG GAG CTG AAA TAC GAG TGG GTG Gm{e}G TTC
ACG CTG CCC GAG GGC AAC TAC TCC GAG ACC ATG ACC ATA GAC
AAC GCG ATC GTG GAG CAC TAC TTG AAA GTG GGC AGA CAG AAC
                                                        GGG GTT
                           TTT GAC ACC CGC AAC TTC AGA CTG NGG
GAA AGC GAC ATC GGG GTA AAG
GAC CCC GTC ACT GGT CTT GTC ATG CCT GGG GTA TAT ACA AAC GAA GCC
                                                                TTC
CAT CCA GAC ATC ATT TTG CTG CCA GGA TGN GGG GTG GNC TTC ACC CAC AGC
CGC CNG AGC AAC TTG TTG GGC ATC CGC AAG CNG CAA CCN TTC TAG GAG GGC
TTT ANG ATC ACC TAC NAT GAT CTG GAG GGN (SEQ ID NO: 7)
```

#### Mutaciones

Base 149 (41 ts) C > A, Serina > Tirosina Base 199 (91 ts) C > A, Prolina > Treonina Base 361 (253 ts) C > T, Glutamina > Parada Base 524 (416 ts) T > A Fenilalanina > Tirosina Base 608 (500 ts) A > G Glutamato > Glicina

#### Secuencia de aminoácidos prevista:

MRRAAMYEEGPPPYYESVVSAAPVAAALGSTFDAPLDPPFVPPRYLRPTGGRNSIRYSELAPLFDTTR VYLVDNKSTDVASLNY (SEQ ID NO: 8)

Número de aminoácidos: 84

Peso molecular: 9241,4

#### Secuencia de ácido nucleico:

TTTAAGAAGGAGANATACAT

```
ATG CGG GGT TCT CAT CAT CAT CAT CAT GGT ATG GCT AGC ATG
ACT GGT GGA CAG CAA ATG GGT CGG GAT CTG TAC GAC GAT
                                                    GAC GAT
                        ATG CGG CGC GCG GCG ATG TAT
AAG GAT CGA TGG
                                                    GAG GAA
GGT CCT CCC TCC TAC GAG AGT GTG GTG AGC GCG GCG CCA GTG
GCG GCG GCG CTG GGT TCT CCC TTC GAT GCT CCC CTG GAC CCG
TTT GTG CCT CCG CGG TAC CTG CGG CCT ACC GGG GGG AGA AAC AGC
ATC CGT TAC TCT GAG TTG GCA CCC CTA TTC GAC ACC ACC CGT
TAC CTG GTG GAC AAC AAG TCA ACG GAT GTG GCA TCC CTG AAC
CAG AAC GAC CAC AGC AAC TTT CTG ACC ACG GTC ATT
                                                CAA AAC
GAC TAC AGC CCG GGG GAG GCA AGC ACA CAG ACC ATC AAT CTT
GAC CGG TCG CAC TGG GGC GGC GAC CTG AAA ACC ATC CTG CAT
AAC ATG CCA AAT GTG AAC GAG TTC ATG TTT ACC AAT
                                                AAG
                                                AAT
GCG CGG GTG ATG GTG TCG CGC
                            TTG CCT
                                    ACT
                                        AAG
                                            GAC
                                                    CAG
                                                        GTG
gag ctg aaa tac gag tag gtg gag
                                TTC
                                    ACG CTG
TAC TCC GAG ACC ATG ACC ATA GAC CTT
                                    ATG AAC AAC GCG ATC GTG
GAG CAC TAC TTG AAA GTG GGC AGA CAG AAC GGG GTT CTG GAA
                                                        AGC
GAC ATC GGG GTA AAG TTT GAC ACC CGC AAC TTC AGA CTG GGG
GAC CCC GTC ACT GGT CTT GTC ATG CCT GGG GTA TAT ACA AAC GAA
GCC TTC CAT CCA GAC ATC ATT TTG CTG CCA GGA TGC GGG GTG GNC
TTC ACC CAC AGC CGC CTG AGC AAC TTG TTG GGC ATC CNC AAG CNG
CAA CCC NTT CCA GGA GGG CTT TAG GAT CAC CTA CGA TGA TCT GGA
GGG (SEQ ID NO: 9)
```

#### Mutaciones

Base 602 (494 ts) G > A, Glutamina > Parada

### Secuencia de aminoácidos prevista:

MRRAAMYEEGPPPSYESVVSAAPVAAALGSPFDAPLDPPFVPPRYLRPTGGRNSIRYS ELAPLFDTTRVYLVDNKSTDVASLNYQNDHSNFLTTVIQNNDYSPGEASTQTINLDD RSHWGGDLKTILHTNMPNVNEFMFTNKFKARVMVSRLPTKDNQVELKYE (SEQ ID NO: 10)

Número de aminoácidos: 164

Peso molecular: 18400,5

#### Secuencia de ácido nucleico:

TTTAAGAAGGAGANATACAT

```
ATG CGG GGT TCT CAT CAT CAT CAT CAT GGT ATG GCT AGC ATG ACT GGT
GGA CAG CAA ATG GGT CGG GAT CTG TAC GAC GAT GAC GAT AAG GAT CGA TGG
        ATG CGG CGC GCG GCG ATG TAT GAG GAA GGT
                                                 CCT
                                                     CCT
                                                         CCC TCC
GAG AGT GTG GTG AGC
                    GCG GCG CCA GTG GCG GCG GCG CTG GGT
                                                         TCT
                                                             CCC
GAT GCT CCC
                GAC
            CTG
                    CCG CCG TTT
                                GTG CCT
                                         CCG CGA
                                                 TAC
                                                     CTG
                                                         CGG
GGG GGG AGA
            AAC
                AGC
                    ATC
                        CGT
                            TAC
                                 TCT
                                     GAG
                                         TTG
                                             GCA
                                                 CCC
                                                     CTA
                                                         TTC
ACC CGT GTG TAC CTG GTG GAC TAC AAG TCA ACG
                                             GAT
                                                 GTG GCA
                                                         TCC
                                                             CTG
FAC CAG AAC GAC CAC AGC AAC TTT CTG ACC ACG GTC ATT CAA AAC AAT
TAC AGC CCG GGG GAG GCA AGC ACA CAG ACC ATC AAT CTT GAC
CAC TGG GGC GGC GAC CTG AAA ACC ATC CTG CAT ACC AAC ATG
                                                         CCA
                                                                  CTC
AAC GAG TTC
            ATG
                    ACC
                        \mathbf{AAT}
                            AAG
                                     AAG
                                         GCG
                                             CGG
                                                 GTG
                                                     ATG
                GTG
TG CCT
        ACT
            AAG
                GAC
                    AAT
                        CAG
                            GTG
                                GAG
                                     CTG
                                         AAA
                                             TAC
                                                 GAG
                                                     TGG
                                                         GTG
ACG ATG
       CCC GAG GGC
                    AAC
                        TAC
                            TCC
                                GAG ACC
                                         ATG
                                             ACC
                                                 ATA
                                                     GAC
                                                         CTT
                                                                  AAC
AAC GCG ATC GTG GAG
                                                                  CTG
                    CAC
                            TTG AAA GTG GGC
                                             AGA
                                                 CAG
                                                     AAC
                                                         GGG
                                                              GTT
                        TAC
GAA AGC GAC ATC GGG
                    GTA
                        AAG TTT GAC ACC CGC AAC
                                                 TTC AGA
                                                         CTG GGG
GAC CCC GTC ACT GGT
                    CTT
                        GTC ATG CCT GGG GTA TAT ACA AAC
                                                         GAA GCC
                                                                  NTC
                                                 NAC TTC
CAT CCA GAC
                        CTG CCA GGA TGC
                                         GGG
                                             GTG
                                                         ACC CAC
                                                                  AGC
           ATC
                ATT
                    TTG
                    TTG
   CTG AGC
            AAC
                TTG
                        GGC
                            ATC CGC AAG
                                        CGG
                                             CAA
                                                 CCC
                                                     NTN
                                                         CCA
   TAG GNT
            CAC
                CTA
                    CGA
                        TGA
                            TCT GGA GGG
                                        NTG GNA
                                                 NCA
                                                     TTC
                                                         CCG
CTG CCA GGA TGC
                GGG
                    GTG GAC TTC ACC CAC AGC CGC CTG AGC AAC
GGC ATC CGC AAG
                    CAA CCC TT CCA GGA GGG CTT TAG GAT CAC CTA
                CGG
         (SEQ ID NO: 11)
```

#### Mutaciones

Base 285 (178 ts) A > G, Arg > Arg Base 328 (220 ts) A > T, Asn > Tyr Base 616 (508 ts) C > A, Leu > Met

#### Secuencia de aminoácidos prevista:

MRRAAMYEEGPPPSYESVVSAAPVAAALGSPFDAPLDPPFVPPRYLRPTGGRNSIRYSELAPL FDTTRVYLVDYKSTDVASLNYQNDHSNFLTTVIQNNDYSPGEASTQTINLDDRSHWGGDLK TILHTNMPNVNEFMFTNKFKARVMVSRLPTKDNQVELKYEWVEFTMPEGNYSETMTIDLMN NAIVEHYLKVGRQNGVLESDIGVKFDTRNFRLGFDPVTGLVMPGVYTNEAXHPDIILLPGCG VXFTHSRLSNLLGIRKRQPXPGGL (SEQ ID NO: 12)

Número de aminoácidos: 271

Peso molecular: 30339,9

#### Secuencia de ácido nucleico:

TTTAAGAAGGAGANATACAT

```
ATG CGG GGT TCT CAT CAT CAT CAT CAT GGT ATG GCT AGC ATG ACT GGT
GGA CAG CAA ATG GGT CGG GAT CTG TAC GAC GAT GAC GAT AAG GAT CGA TGG
        ATG CGG CGC GCG GCG ATG TAT GAG GAA GGT CCT CCT
                                                        CCC TCC TAC
GAG AGT GTG GTG AGC GCG GCG CCA GTG GCG GCG GCG CTG GGT
                                                        TCT CCC TTC
GAT GCT CCC CTG GAC CCG CCG TTT GTG CCT CCG CGG TAC CTG CGG CCT
                                                                ACC
GGG GGG AGA AAC AGC ATC CGT TAC TCT GAG TTG GCA CCC CTA TTC GAC
ACC CGT GTG TAC CTG GTG GAC AAC AAG TCA ACG GTG TGG CAT
                                                        CCC
                                                            TGA
ACC AGA ACG ACC ACA GCA ACT
                            TTC TGA
                                    CCA CGG
                                            TCA
ACA GCC CGG GGG AGG CAA GCA CAC AGA CCA TCA ATC TTG ACG ACC
                                                            GGT
                                                                CGC
ACT GGG GCG GCG ACC TGA AAA CCA TCC TGC ATA CCA ACA TGC CAA ATG TGA
ACG AGT TCA TGT TTA CCA ATA AGT TTA AGG CGC GGG TGA TGG TGT CGC GCT
TGC CTA CTA AGG ACA ATC AGG TGG AGC TGA AAT ACG AGT GGG TGG AGT TCA
CGC TGC CCG AGG GCA ACT ACT CCG AGA CCA TGA CCA TAG ACC TTA TGA ACA
ACG CGA TCG TGG AGC ACT ACT TGA AAG TGG GCA GAC AGA ACG GGG TTC TGG
AAT GCG ACA TCG GGG TAA AGT TTG ACA CCC GCA ACT TCA GAC TGG GGT TTG
ATC CCG TCA CTG GTC TTG TCA TGN CTG GGG TAT ATA CAA ACG AAG CCT TCC
ATC CAG ACA TCA TTT TGC TGC CAG GAT GCG GGG TGG ACT TCA CCC ACA GCC
GCC TGA GCA ACT TGN TGG GCA TCC GCA TGC GGC AAN CNT TNC NGG AGG GCT
TTA GGA TCA CCN ACG ATG ATC TGN AGG (SEO ID NO: 13)
```

### Mutaciones

La supresión en la base 340 (232 ts) provoca un desplazamiento de fase de lectura

La secuencia de aminoácidos de ts es: ...Thr-Asp-Val-Ala-Ser-Leu... La secuencia mutada es: ...Thr-Val-Trp-His-Pro-Parada

#### Secuencia de aminoácidos prevista:

#### 5'3' Fase de lectura 1

G S Met R R A A Met Y E E G P P P S Y E S V V S A A P V A A A L G S P F D A P L D P P F V P P R Y L R P T G G R N S I R Y S E L A P L F D T T R V Y L V D N K S T V W H P Parada (SEQ ID NO: 14)

### Codifica 81 aminoácidos

#### Secuencia de ácido nucleico:

TTTACTTTAAGAAGGAGANATACAT

```
ATG CGG GGT TCT CAT CAT CAT CAT CAT GGT ATG GCT AGC ATG ACT GGT
GGA CAG CAA ATG GGT CGG GAT CTG TAC GAC GAT GAC GAT AAG GAT CGA TGG
       ATG CGG CGC GCG GCG ATG TAT GAG GAA GGT CCT CCT CCC TCC TAC
GAG AGT GTG GTG AGC GCG GCG CCA GTG GCG GCG GCG CTG GGT TCT CCC TTC
GAT GCT CCC CTG GAC CCG CCG TTT GTG CCT CCG CGG TAC CTG CGG CCT ACC
GGG GGG AGA AAC AGC ATC CGT TAC TCT GAG TTG GCA CCC CTA TTC GAC ACC
ACC CGT GTG TAC CTG GTG GAC AAC AAG TCA ACG GTG TGG CAT CCC TGA
ACC AGA ACG ACC ACA GCA ACT
                            TTC
                                TGA CCA CGG TCA TTC AAA ACA GTG
ACA GCC CGG GGG AGG CAA GCA CAC AGA CCA TCA ATC TTG ACG ACC GGT
                                                                CGC
ACT GGG GCG GCG ACC TGA AAA CCA TCC TGC ATA CCA ACA TGC CAA ATG
ACG AGT TCA TGT TTA CCA ATA AGT TTA AGG CGC GGG TGA TGG TGT CGC
TGC CTA CTA AGG ACA ATC AGG TGG AGC TGA AAT ACG AGT GGG TGG AGT
CGC TGC CCG AGG GCA ACT ACT CCG AGA CCA TGA CCA TAG ACC TTA TGA
ACG CGA TCG TGG AGC ACT ACT
                            TGA AAG TGG GCA GAC AGA ACG GGG TTC
AAT GCG ACA TCG GGG TAA AGT
                            TTG ACA CCC GCA ACT TCA GAC TGG GGT
ATC CCG TCA CTG GTC TTG TCA TGC CTG GGG TAT ATA CAA ACG AAG CCT
ATC CAG ACA TCA TTT TGC TGC CAG GAT GCG GGG TGG ACT TCA CCC ACA GCC
GCC TGA GCA ACT TGT TGG GCA TCC GCA TGC GGC AAC CCT TNC AGG AGG GCT
TTA GGA TCA CCT ACG ATG ATC TGN AGG GNN GNA NCA TTN CCC GCA CTG NTG
GAN GT (SEO ID NO: 15)
```

La supresión en la base 340 (232 ts) provoca un desplazamiento de fase de lectura

#### Secuencia de aminoácidos prevista:

MRRAAMYEEG PPPSYESVVS AAPVAAALGS PFDAPLDPPFVPPRYLRPTG GRNSIRYSELAPLFDTTRVY LVDNKSTVWHP (SEQ ID NO: 16)

Número de aminoácidos: 81

Peso molecular: 8918,1

#### Secuencia de ácido nucleico:

ATTTTGTTTACTTTAAGAAGGAGATATACAT

```
ATG CGG GGT TCT CAT CAT CAT CAT CAT GGT ATG GCT AGC ATG ACT GGT
GGA CAG CAA ATG GGT CGG GAT CTG TAC GAC GAT GAC GAT AAG GAT CGA TGG
CONTROL ATG CGG CGC GCG ATG TAT GAG GAA
                                             GGT CCT CCT
GAG AGT GTG GTG AGC GCG GCG CCA GTG GCG GCG GCG CTG GGT TCT CCC TTC
GAT GCT CCC CTG GAC CCG CCG TTT GTG CCT CCG CGG TAC CTG CGG CCT
GGG GGG AGA AAC AGC ATC CGT TAC TCT GAG TTG GCA CCC CTA TTC GAC ACC
ACC CGT GTG TAC CTG GTG GAC AAC AAG TCA ACG GAT GTG GCA TCC CTG
TAC CAG AAC GAC CAC AGC AAC
                            T'T'T
                                CTG ACC
                                        ACG
                                             GTC ATT
                                                     CAA AAC
TAC AGC CCG GGG GAG GCA AGC
                            ACA
                                CAG ACC
                                         ATC
                                             AAT
                                                 CTT
                                                     GAC GAC
                                                              CGG
            GGC GAC CTG AAA ACC
                                 ATC
                                     CTG
                                         CAT
                                             ACC
                                                 AAC
                                                     ATG CCA AAT
AAC GAG TTC ATG TTT ACC AAT
                            AAG
                                \Pi^{\dagger}\Pi^{\dagger}\Pi
                                     AAG
                                         GCG
                                             CGG
                                                 GTG
                                                     ATG
                                                         GTG
                                                              TCG
TTG CCT ACT
            AAG GAC AAT CAG GTG GAG CTG
                                         AAA
                                             TAC
                                                 GAG
                                                     TAG
            GAG GGC AAC
                        TAC
                            TCC
                                GAG ACC ATG
                                             ACC
                                                 ATA
AAC GCG ATC GTG GAG CAC TAC TTG AAA GTG GGC AGA CAG AAC GGG GTT CTG
GAA AGC GAC ATC GGG GTA AAG TTT GAC ACC CGC AAC TTC AGA CTG GGG TTT
GAC CCC GTC ACT GGT CTT GTC ATG CCT GGG GTA TAT ACA AAC GAA GCC
CAT CCA GAC ATC ATT TTG CTG CCA GGA TGC GGG GTG GAC TTC ACC CAC AGC
CGC CTG AGC AAC TTG TTG GGC ATC CNC AAG CGG CAA CCC TTN CAG G (SEQ
ID NO: 17)
```

#### Mutaciones

Base 602 (494 ts) G > A Glutamina > Parada. Misma mutación que 3311

#### Secuencia de aminoácidos prevista:

MRRAAMYEEGPPPSYESVVSAAPVAAALGSPFDAPLDPPFVPPRYLRPTGGRNSIRYSELAPL FDTTRVYLVDNKSTDVASLNYQNDHSNFLTTVIQNNDYSPGEASTQTINLDDRSHWGGDLK TILHTNMPNVNEFMFTNKFKARVMVSRLPTKDNQVELKYE (SEQ ID NO: 18)

Número de aminoácidos: 164

Peso molecular: 18400,5

#### Secuencia de ácido nucleico:

Secuencia ensamblada a partir de los datos 5' y 3' de Bradley Reinfeld

ATG CGG GGT TCT CAT CAT CAT CAT CAT GGT ATG GCT AGC ATG ACT GGT GGA CAG CAA ATG GGT CGG GAT CTG TAC GAC GAT GAC GAT AAG GAT CGA TGG ATG CGG CGC GCG ATG TAT GAG GAA GGT CCT CCT CCC TCC TAC GAG AGT GTG GTG AGC GCG GCG CCA GTG GCG GCG GCG CTG GGT TCT CCC TTC GAT GCT CCC CTG GAC CCA CCG TTT GTG CCT CCG CGG TAC CTG CGG CCT GGG GGG AGA AAC AGC ATC CGT TAC TCT GAG TTG GCA CCC CTA TTC GAC ACC CGT GTG TAC CTG GTG GAC AAC AAG TCA ACG GAT GTG GCA TCC CTG TAC CAG AAC GAC CAC AGC AAC TTT CTG ACC ACG GTC ATT CAA AAC AAT GAC TAC AGC CCG GGG GAG GCA AGC ACA CAG ACC ATC AAT CTT GAC GAC CGG CAC TGG GGC GGC GAC CTG AAA ACC ATC CTG CAT ACC AAC ATG CCA AAT AAC GAG TTC ATG TTT ACC AAT AAG T'T'TAAG GCG CGG GTG ATG GTG TCG CGC TTG CCT ACT AAG GAC AAT CAG GTG GAG CTG AAA TAC GAG TGG GTG GAG ACG CTG CCC GAG AAC TAC TCC GAG ACC ATG GGC ACC ATAGAC CTT ATG AAC GCG ATC GTG AAC GAG CAC TAC TTG AAA GTG GGC AGA CAG AAC GGG GTT CTG GAA AGC GAC ATC GGG GTA AAG TTT GAC ACC CGC AAC TTC AGA CTG GGG GAC CCC GTC ACT GGT CTT GTC ATG CCT GGG GTA TAT ACA AAC GAA GCC TTC CCA GAC ATC ATT TTG CTG CCA GGA TGC GGG GTG GAC TTC ACC CAC CGC CTG AGC AAC TTG TTG GGC ATC CGC AAG CGG CAA CCC TTC CAG GAG GGC AGG ATC ACC TAC GAT GAT CTG GGT AAC ATT  $T^{\dagger}T^{\dagger}T$ GAG GGT CCC GCA CTG GCN TAC CAG GCG AGC AAA GAT GAC GGG GATGTG GAC TTGACC GAA CAG GGC GGT GGC GCA GGC GGC AGC AAC AGC AGT GGC AGC GGC **GCG** GAA GAG AAC TCC AAC GCG GCA GCC GCG GCA ATG CAG CCG GTG GAG GAC ATG AAC GAT CAT GCC ATT CGC GGC GAC ACC TTT GCC ACA CGG GCT GAG GAG AAG CGC GCT GAG GCC gaa gca gcg gcc gaa gct gcc gcc ccc gct gcg caa ccc gag gtc gag aag CAG GAG AAA CCG GTG ATC AAA CCC CTG ACA GAG GAC AGC AAG AAA CGC TAC AAC CTA ATA AGC AAT GAC AGC ACC TTC ACC CAG TAC CGC AGT AGC TGG TAC CTT GCA TAC AAC TAC GGC GAC CCT CAG ACC GGA ATC CGC TGG ACC TCA TGC CTG CTT TGC ACT CCT GAC GTA ACC GGC TCG GAG CAG GTC TAC TGG TTG CCA GAC ATG ATG CAA GAC CCC ATG ACC TTC CGC TCC ACG CGC CAG ATC AGC AAC TTT CCG GTG GTT GAG CTG TTG TCC GTG CAC TCC AAG GGC GCC AGC TTC TAC AAC GAC CAG GCC GTC TAC TCC CAA CTC ATC CGC CAG TTT ACC TCT CTG ACC CAC GTG TTC AAT CGC TTT CCC GAG AAC CAG ATT TTG GCG CGC CCG GCC CCC ACC ATC ACC ACC GTC AGT GAA AAC GTT CCT GCT GAT CTC ACA CCACAC GGG ACG CTA CCG CTG CGC AAC AGC ATC GGA GGA GTC CAG CGA GTG ACC ACT GAC GCC AGA CGC CGC ACC TGC CCC TAC GTT TAC AAG GCC CTG ATA GTC TCG CCG CGC GTC CTA TCG AGC CGC ACT  $\Pi \Pi \Pi$ TGA GAA TTC TGA TCC GGC TGC TAA CAA AGC CCG AAA GGA AGC NGA GTN GGC TGC TGC CAC C (SEO ID NO: 19)

# Figura 17 (continuación)

#### Secuencia de aminoácidos prevista:

MRRAAMYEEGPPPSYESVVSAAPVAAALGSPFDAPLDPPFVPPRYLRPTGGRNSIRYSEL
APLFDTTRVYLVDNKSTDVASLNYQNDHSNFLTTVIQNNDYSPGEASTQTINLDDRSHWGGD
LKTILHTNMPNVNEFMFTNKFKARVMVSRLPTKDNQVELKYEWVEXTLPEGNYSETMTIDL
MNNAIVEHYLKVGRQNGVLESDIGVKFDTRNFRLGFDPVTGLVMPGVYTNEAFHPDIILLPG
CGVDFTHSRLSNLLGIRKRQPFQEGFRITYDDLEGGNIPAL
DXYQASLKDDTEQGGGGA
GGSNSSGSGAEENSNAAAAAMQPVEDMNDHAI
TFATRAEEKRAEAEAAAEAAAPAAQ
PEVEKPQEKPVIKPLTEDSKKRSYNLISNDSTFTQYRSWYLAYNYGDPQTGIRSWTLLCTPDV
TCGSEQVYWSLPDMMQDPMTFRSTRQISNFPVVGAELLSVHSKSFYNDQAVYSQLIRQFTSLT
HVFNRFPENQILARPPAPTITTVSENVPALTDHGTLPLRNSIGGVQRVTITDARRRTCPYVYKAL
GIVSPRVLSSRTF (SEQ ID NO: 20)

Número de aminoácidos: 571

Peso molecular: 63320,2